

تعیین خردشده سنگ در اثر انفجار با استفاده از روش عکسبرداری

عباس مجدى محمد مهدى دهقان بنادکى
استادیار مربى
گروه مهندسی معدن، دانشکده فنی، دانشگاه تهران گروه مهندسی معدن، دانشکده فنی، دانشگاه شهرورد

داراب رئیسی گهروئی
استادیار
دانشکده مهندسی معدن، دانشگاه صنعتی اصفهان

چکیده

در این مقاله با استفاده از روش عکسبرداری و آزمایش هایی در مقابس آزمایشگاهی مدلی برای خردشدن سنگ های حاصل از انفجار ارائه و صحت روش مورد بررسی قرار گرفته است. به این منظور با استفاده ازتابع توزیع احتمال واپل نمونه های ۱۰۰ کیلوگرمی با مقادیر مشخصی از پارامترهای توزیع مذکور تهیه و چهار عکس از نمونه ها گرفته شده است. سپس عکس های تهیه شده به فایل های گرافیکی تبدیل و مرزهای قطعات مختلف بر روی آن مشخص گردیده است. بدنبال آن خطای ایجاد شده در عکس ها نظیر خطای پرسپکتیو بر طرف شده و سپس حجم هر قطعه و حداقل دهانه سرند برای عبور آن نیز محاسبه گردیده است. نهایتاً توزیع خردشده ایجاد شده از روش عکسبرداری با توزیع خردشگی اولی مقایسه و روشنی برای تبدیل توزیع خردشده عکسبرداری به توزیع خردشگی سرند گردن ارائه شده است.

کلمات کلیدی
روش عکسبرداری، انفجار، تابع توزیع احتمال واپل، فایل های گرافیکی، توزیع خردشگی

Determination of Rock Fragmentation Based on a Photographic Technique

M.M. Dehghan Banadaki
Lecturer of Engineering Faculty
Mining Engineering Department,
Shahrood University

A. Majdi
Assistant Professor
Mining Engineering Department,
Tehran University

D. Raessi Gahrooei
Assitant professor

Technical University of Isfahan

Abstract

The paper represents a physical blasting model in laboratory scale along with a photographic approach to describe the distribution of blasted rock materials. For this purpose, based on weibull probability distribution function, egiht samples each weighted 100 kg, were obtained. Four pictures from four different section of each sample were taken. Then, pictures were converted into graphic files with characterizing boundary of each piece of rocks in the samples. Error caused due to perspective were eleminated. Volume of each piece of the blasted rock materials and hence the required sieve size, each piece of rock to pass through, were calculated. Finally, original blasted rock size distribution was compared with that obtained from the photographic method. The paper concludes with presenting an approach to convert the results of photographic technique into size distribution obtained by seive analysis with sufficient verification.

Keywords

Photographic approach, Blasting, Weibull Probability distribution function Graphic files, Blasted rock size distribution.

مقدمه

تعیین توزیع احتمال خردشدن سنگ با استفاده از روش عکاسی شامل مراحل زیر می باشد:

- الف - تهیه عکسها.
- ب - دیجیتایز کردن عکسها و ساختن فایل‌های گرافیکی.
- ج - پیدا کردن مرزهای قطعات.
- د - بر طرف کردن خطای عکسها.
- ه - تعیین پارامتری هندسی که بتواند بیانگر حجم هر قطعه باشد.
- و - تعیین پارامتری هندسی که بیانگر حداقل دهانه سرند برای عبور هر قطعه باشد.
- ز - استفاده از پارامترهای هندسی (ه) و (و) برای تخمین توزیع خردشدن سنگ.

الف - تهیه عکسها- برای بیان ارتباط آماری بین توزیع‌های خردشدن سنگ در دو حالت سرند کردن و عکسبرداری، ابتدا نمونه هایی با وزن ۱۰۰ کیلوگرم تهیه گردید. سپس نمونه های تهیه شده کاملاً مخلوط و سپس چهار مقطع مختلف آنها گرفته شد. علت گرفتن چند عکس از هر نمونه عدم همگن بودن توزیع ابعاد در مقاطع مختلف نمونه ها می باشد. برای بر طرف کردن خطای عکسها و اندازه گیری ابعاد واقعی قطعات از یک قاب با ابعاد داخلی $100 \times 100 \times 150$ سانتیمتر نیز استفاده شده است.

ب - دیجیتایز کردن عکسها و ساختن فایل های گرافیکی- برای انجام تصحیحات لازم و تعیین ابعاد سنگ‌ها باید عکس‌های تهیه شده به فایل‌های گرافیکی تبدیل شوند. به این منظور از یک دستگاه Scanner با قدرت تفکیک ۳۰۰ dpi استفاده شد و توسط آن فایل‌هایی با پسوند .pcx تهیه گردید. با توجه به آنکه کارت‌های گرافیکی کامپیوتري مورد استفاده از نوع TRIDENT می باشد لذا تفکیک نمایی صفحه نمایش در محیط DOS جداگذار معادل 40×40 پیکسل بوده و فایل‌های .pcx نیز بصورت 40×40 پیکسل تهیه شده است.

ج - پیدا کردن مرزهای قطعات- برای تعیین مرزهای قطعات ابتدا سعی شد تا از نرم افزارهای پردازش تصویر نظیر Photostyler و یا Coreldraw استفاده شود. اما مشکل عمده این نرم افزارها عملیات فیلتر کردن بر حسب شدت رنگ می باشد، که بدین ترتیب مرزهای قطعاتی که بر روی یکدیگر قرار گرفته اند و دارای شدت رنگ تقریباً یکسانی

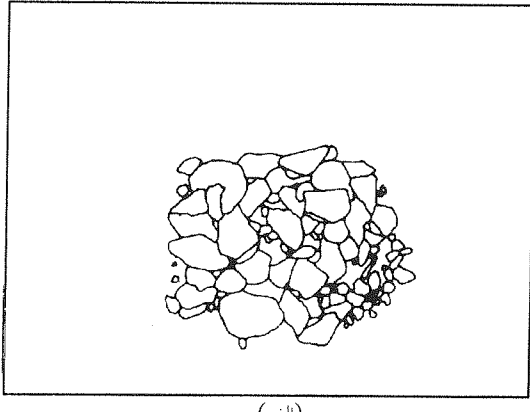
سیکل تولید معدن شامل پنج مرحله مهم حفاری، انفجار، بارگیری، باربری و سنگ‌شکنی اولیه است که هدف از دو مرحله اول خردکردن سنگ تا یک بعد خاص می باشد. هزینه های حفاری و انفجار در مورد سنگ‌های سخت با توجه به اطلاعات جمع آوری شده از تعدادی از معادن روباز حدوداً معادل ۳۰ درصد از کل هزینه های تولید می باشد که با افزایش قطعات بزرگ و نیاز به آتشباری ثانویه تا ۴۵ درصد نیز افزایش می یابد. افزایش خردشدن سنگ توسط انفجار سبب بالارفتن هزینه های حفاری و انفجار می گردد. اما در نتیجه سهولت عملیات بارگیری و باربری، کاهش مصرف انرژی در مرحله سنگ‌شکنی اولیه و عدم نیاز به آتشباری ثانویه، نه تنها افزایش مزبور جبران خواهد شد، بلکه افزایش معینی در خردشدن سنگ سبب کاهش هزینه ها نیز می گردد. بدین ترتیب برای بهینه سازی طرح انفجار باید از دو مدل، یکی برای خردشدن سنگ و دیگری برای هزینه های انفجار، استفاده نمود. در اینجا سعی شده است تاروشهای برای تعیین توزیع خردشدن سنگ ارائه گردد.

روند مدلسازی خردشدن سنگ

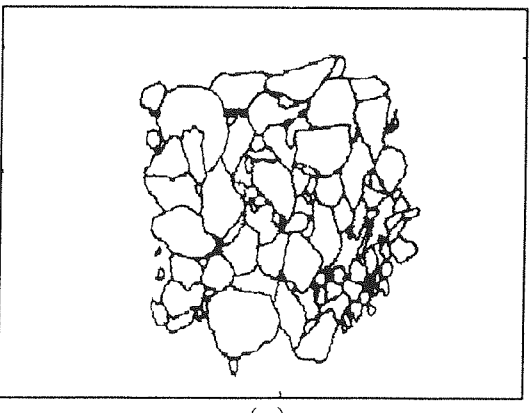
طی دو دهه اخیر تمايل زیادی برای مدلسازی خردشدن سنگ با استفاده از روش‌های تجربی وجود داشته است. [۱] Kuznetsov رابطه‌ای تجربی و ساده را برای پیش‌بینی بعد متوجه سنگ خرد شده ارائه کرد که طیف وسیعی از سنگها و مواد منفجره را در بر می گرفت. علیرغم آنکه در رابطه وی صرفاً انرژی ورودی برای حجم معینی از سنگ و عاملی برای بیان سختی و تراکم آن وارد شده بود، اما دقت قابل توجهی برای سنگ‌های توده ای از خود نشان می داد. [۲] Cunningham متوسط بعد در رابطه Rosin-Ramler Kuznetzov را به توزیع خردشدن سنگ بصورت تابعی از پارامترهای طراحی انفجار، سختی سنگ، و فراوانی درزه ها و جهت آنها بیان شده است. همچنین مطالعاتی در مقیاس کوچک برای مرتبط ساختن میزان خرد شدن سنگ با خواص آن و مواد منفجره صورت گرفته است که از آن جمله می توان از مطالعات Bergamann U.S.B.M. و دیگران [۳] و نیز Otterness [۴] توسط نام برد. در این مطالعات تأثیر پارامترهایی نظیر چگالی ماده منفجره، سرعت انفجار، سرعت امواج صوتی در سنگ، ضریب جفت شدنگی ماده منفجره در چال و چگالی بر میزان خد شدنگی آن بیان شده است.

تخمین خردایش سنگ به روش عکسبرداری

- بعد سوم قطعه سبب خطا می‌گردد.
- خطای ناشی از قدرت تفکیک عکس‌ها. با توجه به ابعاد قطعات، قدرت تفکیک کم سبب عدم تشخیص قطعات کوچکتر از بعد خاصی خواهد شد. برای رفع این مشکل باید از عکس‌های با قیاس بزرگتر که سطح کمتری را پوشش می‌دهند استفاده نمود.
- خطای پرسپکتیو. در این مورد قطعات نزدیکتر بزرگتر از قطعات دورتر بنظر می‌رسند (شکل ۲). برای بر طرف کردن این مشکل از ماجول Photopaint نرم افزار Coreldraw استفاده شده است. برای این کار ابتدا گوشه‌های قاب به حالت مستقیم در آمده و سپس قسمت فوقانی قاب کشیده شده است تا نسبت بین طول و عرض قاب نیز به مقدار واقعی برسد.



(الف)

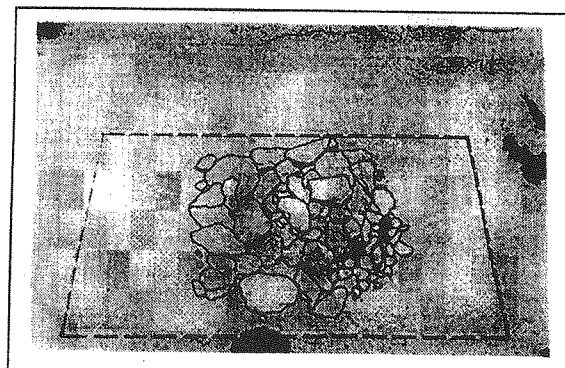


(ب)

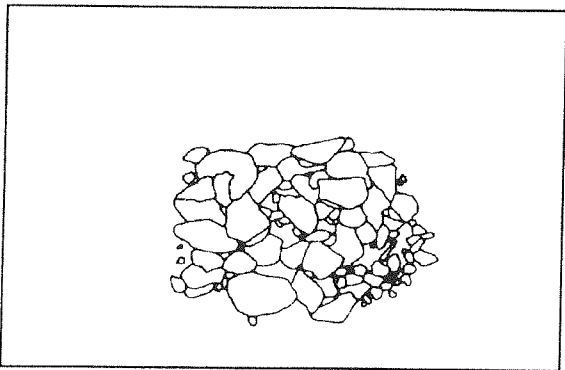
شکل (۲) نحوه برطرف کردن خطای پرسپکتیو عکس‌ها توسط نرم افزار Coreldraw (الف) عکس تصویر نشده اول از نمونه دوم (ب) عکس تصویر شده اول از نمونه دوم.

- ۵- تعیین پارامترهای هندسی که بتواند بیانگر حجم هر قطعه باشد - برای تخمین درصدهای حجمی یا وزنی قطعات با استفاده از روش عکسبرداری از فرضیات زیر استفاده شده است:

می‌باشد کاملاً مشخص نبوده و قطعات مزبور بصورت یک قطعه منفرد به حساب خواهند آمد. برای کاهش خطای ناشی از این امر می‌توان از میزان گردی (Roundness) یا درجه تحدب (Grade of Convexity) قطعات استفاده نمود که از عهده نرم افزارهای موجود خارج است. با توجه به مطالب فوق، قبل از کردن عکسها، مرزهای قطعات بر روی آنها رسم و سپس، برای سهولت کار برنامه کامپیوتري مورد نیاز، بر روی کالک پیاره شده است. نهایتاً نیز کالک‌های تهیه شده توسط Scaner بصورت فایل‌های گرافیکی درآمده است. خطای این روش کمتر از روش فیلتر کردن می‌باشد اما به وقت زیادی نیاز دارد. برای مثال عکس اول از نمونه دوم که بصورت دستی گوشه‌یابی شده همراه با کالک برداشت شده از آن در شکل (۱) آمده است.



(الف)



(ب)

شکل (۱) گوشه‌یابی عکسها بصورت دستی. (الف) عکس اول از نمونه دوم (ب) - کالک تهیه شده از روی عکس (الف).

د- برطرف کردن خطای عکسها - معمولاً هنگام تهیه عکسها و پس از آن خطاهایی ایجاد می‌شود که منجر به عدم دقیق محاسبات می‌گردد. مهمترین این خطاهای عبارتند از: استفاده از فرضیات ساده کننده برای تبدیل سطوح بدست آمده از عکس‌های دوبعدی به حجم که بعلت مشخص نبودن

تابع توزیع احتمال برای خرد شدن سنگ

تابع توزیع احتمال استانداردی وجود دارد که کم و بیش می‌توانند بیانگر توزیع دانه بندی سنگها در توده حاصل از انحراف باشند که از آن جمله می‌توان از توابع RAMLER-WEIBULL، ABACUS، ROSIN رنام برد توزیع اخیر نتایج رضایت‌بخشی داشته و تابع توزیع تجمعی آن بصورت زیر می‌باشد:

$$F(x) = \begin{cases} 100 \times (1 - \text{EXP} [-((x-y)/x_c)^n]) & x \geq y \\ 0 & x < y \end{cases} \quad (1)$$

که در آن :

$F(x)$: درصد تجمعی عبوری از بعد کمتر از x یا مساوی آن.
 x : بعد مشخصه (ویژه) یا پارامتر مقیاس بر حسب سانتیمتر. این پارامتر بصورت دهانه سرندي که ۶۲/۲۱ درصد مواد از آن عبور می‌کنند تعريف می‌شود.

y : پارامتر موقعیت بر حسب سانتیمتر.

n : شاخص یکنواختی یا پارامتر شکل قطعات.
 ویژگی مهم توزیع وایبل سه پارامتری بودن آن می‌باشد که دامنه وسیعی از اشکال را پوشش می‌دهد.

تئیه نمونه‌های آزمایشگاهی

برای تعیین ضرائب تصحیح مورد نیاز ابتدای توده های کوچکی با توزیع دانه بندی از پیش تعیین شده که از توزیع دو پارامتری وایبل ($y = f(x)$) تبعیت می‌کنند تهیه شده است، با ترکیب درصدهای مختلف از قطعات، هشت توده ۱۰۰ کیلوگرمی که دارای ضرائب X_c و n مشخص می‌باشند، تهیه گردید که اطلاعات مربوط به نمونه دوم در جدول (۱) آمده است.

جدول (۱) توزیع ساختکی دوم که بوسیله سوند کردن سنگ‌ها بدست آمده‌اند.

		+۱/۵	+۲/۴	+۴/۰	+۶/۰	+۸/۰	+۱۱/۰	+۱۴/۰	دهانه سرندي (cm)	
	-۱/۵	-۲/۴	-۴/۰	-۶/۰	-۸/۰	-۱۱/۰	-۱۴/۰			
۱۰۰۰۰	۲/۷۰	۵/۰۰	۱۲/۷۰	۱۹/۵۰	۱۹/۱۰	۲۱/۸۰	۱۲/۱۰	۷/۱۰	وزن (kg)	نمونه
	۲/۷۰	۷/۷۰	۲۰/۴۰	۳۹/۹۰	۵۹/۰۰	۸۰/۸۰	۹۲/۹	—	تجمعی عبوری (%)	دوم

جدول (۲) پارامترهای توزیع وایبل.

۸	۷	۶	۵	۴	۳	۲	۱	شماره نمونه
۱۵/۰۰	۱۴/۰۰	۱۱/۳۰	۱۰/۲۰	۹/۰۰	۶/۰۰	۸/۴۰	۷/۰۰	X_c (cm)
۲۱۰	۲/۰۰	۱/۰۴	۱/۹۳	۲/۲۰	۲/۱۲	۱/۹۳	۱/۷۰	
۱۴/۹۶۷	۱۴/۰۱۲	۱۱/۳۰۱	۱۰/۱۸۷	۹/۰۰۱	۶/۰۱۱	۸/۰۰۰	۷/۰۱۴	X_c (cm)
۲/۱۰۹	۱/۹۹۹	۱/۰۴۱	۱/۳۹۴	۲/۲۰۶	۲/۱۳۸	۱/۹۳۱	۱/۷۰۴	

۱- سطح هر قطعه از حاصلضرب بعد حداقل و حداکثر آن

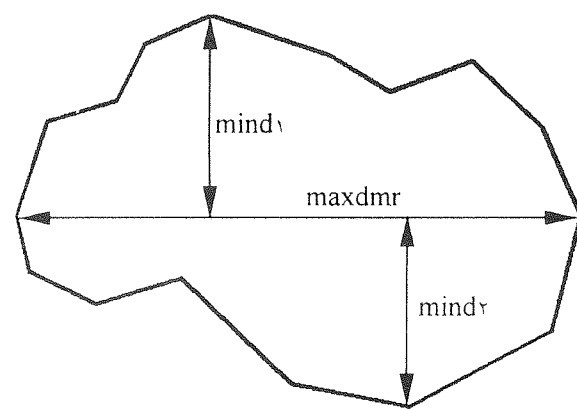
بدست می‌آید (شکل ۳). مطابق (شکل ۳) برای پیدا کردن قطرها ابتدا قطر بزرگ سنگ تعیین شده و سپس با توجه به معادله خط این قطر، مجموع بیشترین فاصله از هر دو طرف آن بعنوان قطر کوچک در نظر گرفته می‌شود.

۲- ضخامت هر قطعه با قطر کوچک بدست آمده از عکس‌ها برابر می‌باشد.

۳- حجم هر قطعه از حاصلضرب ضخامت در سطح آن قطعه بدست می‌آید.

۴- تمام قطعات دارای وزن مخصوص یکسان می‌باشند که در این صورت درصد حجمی قطعات با درصد وزن آنها برابر خواهد بود.

با توجه به فرض‌های اول و دوم، بعد حداقل برای عبور هر قطعه از دهانه سرند معادل قطر کوچک آن قطعه خواهد بود.



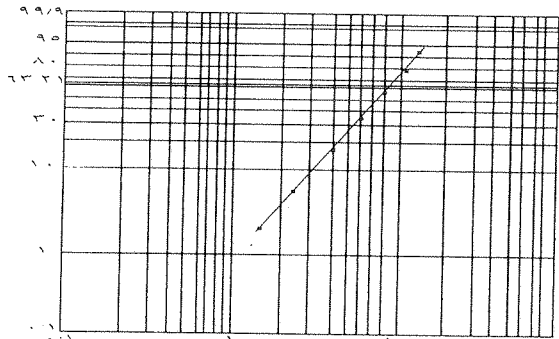
شکل (۳) قطرهای بزرگ (maxdmr) و کوچک

(mindmr = mind1 + mind2) هر قطعه که می‌توان

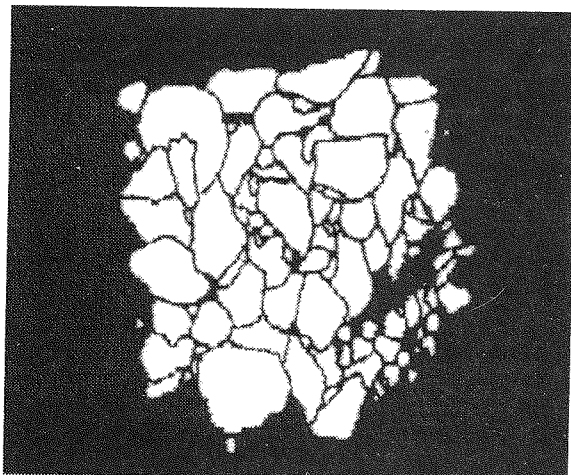
از روی آنها سطح و حجم هر قطعه را بدست آورد.

ب- معرفی برنامه DIAMETER

در این برنامه با استفاده از اطلاعات فایل data.dat و data1.dat که خروجی های برنامه SCANROCK می باشند، ابتدا قطر بزرگ یک قطعه تعیین شده و سپس مجموع حداکثر فاصله از دو سمت این قطر بعنوان قطر کوچک محاسبه می گردد. نهایتاً نیز اطلاعات بدست آمده در فایل data2.dat ذخیره می گردد.



شکل (۵) منحنی توزیع تجمعی نمونه سوم برای حالت سرنده کردن بر روی صفحه احتمال واپل.



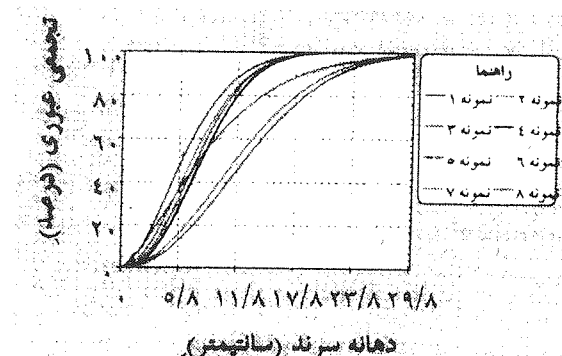
شکل (۶) عکس آماده اول از نمونه دوم که برای برنامه SCANROCK آماده شده است.

تحلیل اطلاعات بدست آمده

پس از تعیین اقطار کوچک و بزرگ سنگ های هر عکس، اطلاعات عکس های مربوط به هر نمونه با یکدیگر ترکیب شده است که نتایج مربوط به نمونه دوم در جدول (۳) آمده است. با پیاده کردن اطلاعات تصویری حاصل از هر نمونه بر روی صفحه احتمال واپل ملاحظه می شود که منحنی بدست آمده (شکل ۷) در تمام موارد دارای تغیری به سمت پایین است که این تغیر ناشی از حذف تعدادی از قطعات با ابعاد کوچک

برای تهیه نمونه ها ابتدا مقادیری برای ضرائب مذکور درنظر گرفته شد که به علت بوجود آمدن اختلاف جزئی در مرحله ترکیب سنگها، مقادیر دقیق آنها کمی با مقادیر اولیه متفاوت می باشد (جدول ۲).

در شکل (۴) منحنی های توزیع تجمعی توزیع های ساختگی رسم شده است. در شکل (۵) نیز منحنی توزیع تجمعی نمونه سوم بر روی صفحه واپل این است که نمودار معادله واپل بر روی آن بصورت خطی مستقیم درمی آید که به این ترتیب ضرائب x و n را بطور گرافیکی نیز می توان بدست آورد.



شکل (۴) منحنی های توزیع تجمعی نمونه های ساختگی برای حالت سرند کردن.

تعیین قطرهای بزرگ و کوچک از روی عکسها

برای تعیین قطرهای کوچک و بزرگ از روی عکسها دو قطعه برنامه به زبان C++ به نام های SCANROCK و DIAMETER نوشته شده است که در ادامه به معرفی آنها خواهیم پرداخت.

الف- معرفی برنامه SCANROCK

برای استفاده از این برنامه ابتدا باید اطراف عکس های تهیه شده را با رنگ سیاه پر نمود که بعنوان نمونه، عکس اول از نمونه دوم در شکل (۶) رسم شده است. طرز کار این برنامه به این صورت است که با توجه به سفید بودن قطعه سنگ ها، برنامه با رسیدن به اولین پیکسل سفید که مربوط به اولین قطعه می باشد، وارد آن قطعه شده و با چک کردن رنگ سیاه در اطراف آن قطعه، مختصات تمام پیکسل های اطراف آن قطعه را در یک آرایه و سپس درون فایل data.dat ذخیره می کند. سپس قطعه مذکور را با رنگ سیاه پر کرده و مجدداً حرکت خود را از محل ورود به قطعه قبل ادامه می دهد تا اطلاعات مربوط به تمام قطعات برداشت گردد. در انتهای برنامه تعداد قطعات برداشت شده نیز در فایل data.dat ذخیره می شود.

جدول (۳) توزیع خردشگی سنگ برای نمونه دوم، بدست آمده از روش عکسبرداری.

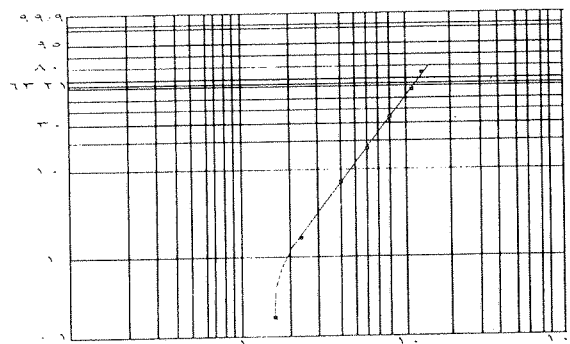
		+۱/۰	+۲/۴	+۴/۰	+۶/۰	+۸/۰	+۱۱/۰	+۱۴/۰	دهانه سرند (cm)
	-۱/۰	-۲/۴	-۴/۰	-۶/۰	-۸/۰	-۱۱/۰	-۱۴/۰		
۱۰۰/۰۰	.۰/۳۱	۱/۴۶	۵/۳۵	۱۰/۸۶	۱۰/۸۴	۲۸/۴۲	۱۴/۹۱	۲۷/۸۰	وزن (kg)
	.۰/۳۱	۱/۷۷	۷/۱۱	۱۷/۹۸	۲۸/۸۲	۵۷/۲۴	۷۲/۱۰	—	نمونه دوم تجمعی عبوری (%)

جدول (۴) پارامترهای توزیع احتمال واپیل بدست آمده از تحلیل های آماری.

R مجدور	y (cm)	روش نمونه گیری		سرند کردن		شماره نمونه
		عکسبرداری	n	x _c (cm)	n	
.۹۹۳	۱/۹	۱/۹۳۷	۱۰/۷۹	۱/۷۰۴	۷/۵۱۴	۱
.۹۸۸	۱/۷	۱/۷۳۹	۱۰/۶۶۴	۱/۹۳۱	۸/۵۰۵	۲
.۹۹۰	۱/۵	۱/۷۲۹	۱۰/۸۷۵	۲/۱۳۸	۹/۰۱۱	۳
.۹۹۵	۱/۰	۱/۵۶۴	۱۲/۳۱۷	۲/۲۰۶	۹/۰۰۰	۴
.۹۸۲	۱/۰	۱/۶۲۹	۱۲/۳۷۵	۱/۳۹۴	۱۰/۱۸۷	۵
.۹۹۰	۱/۰	۱/۵۴۰	۱۰/۲۸۹	۱/۵۴۱	۱۱/۳۰۱	۶
.۹۸۹	۱/۰	۲/۰۲۷	۱۸/۳۲۶	۱/۹۹۹	۱۴/۰۱۲	۷
.۹۸۹	۱/۰	۲/۰۷۸	۱۶/۱۱۳	۲/۱۰۹	۱۴/۹۶۷	۸

را برای توزیع های خردشگی نشان می دهند که ناشی از نحوه تهیه عکس ها برای تعیین ابعاد قطعات می باشد. بدین ترتیب منحنی های تجمعی حاصل از این دو روش بر روی صفحه احتمال واپیل موازی نخواهند بود.

- با توجه به شکل (۸) ملاحظه می شود که مقادیر ۱۱ پیش بینی شده توسط دو روش نمونه گیری کاملاً متفاوت بودند و هیچگونه همبستگی بین آنها وجود ندارد.



شکل (۷) منحنی تجمعی بدست آمده از روش عکسبرداری برای نمونه سوم بر روی صفحه احتمال واپیل.

می باشد. برای بر طرف کردن این خطاباید مقداری از پارامتر سوم توزیع واپیل (۷) که منجر به مستقیم شدن این منحنی می گردد را تعیین و سپس از آن برای تخمین پارامترهای α و β استفاده نمود. در صورتیکه نتوان برای β مقداری قابل قبول بدست آورده که منجر به مستقیم شدن منحنی مذکور گردد، در این صورت می توان نتیجه گرفت که توزیع بدست آمده از توزیع واپیل پیروی نمی کند [۵]. پس از تخمین پارامتر α ، پارامترهای α و β نیز با استفاده از بخش پردازش غیرخطی نرم افزار SPSS تعیین و نتایج نهایی در جدول (۴) آمده است.

با توجه به جدول (۴) می توان نتایج زیر را بدست آورد:

- تمام توزیع های بدست آمده از روش عکسبرداری از توزیع سه پارامتری واپیل تبعیت می کنند. بدین ترتیب توزیع های دو پارامتری اولیه برای حالت سرند کردن ($y=0$)، به توزیعهایی سه پارامتری ($y \neq 0$) برای حالت عکسبرداری تبدیل می شوند.

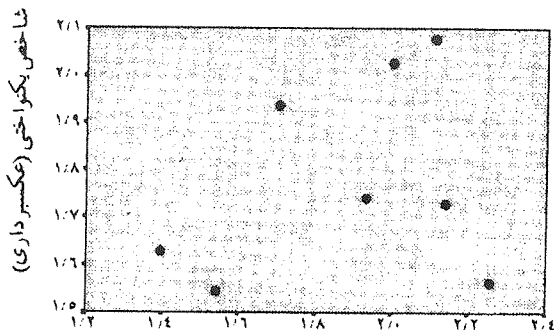
- بهترین مقدار β برای هر یک از نمونه ها تقریباً معادل $1/5$ سانتیمتر بوده و بیانگر بعدی است که ابعاد کوچکتر از آن بخارط عدم دقت عکسها حذف شده اند.

- روش های عکسبرداری و سرند کردن مقادیر متفاوتی از α

توزیع حاصل از دو روش سرنده کردن و عکسبرداری، شش صدک مختلف از منحنی های توزیع تجمعی انتخاب گردید. صدک های انتخاب شده، ۵، ۲۰، ۴۰، ۶۳/۲۱، ۷۵ و ۹۰ صدک می باشند که بعنوان مثال ۲۰ صدک بیانگر دهانه سرنده است که ۲۰ درصد وزنی قطعات از آن دهانه عبور می کنند. k امین صدک توزیع واپل را می توان از رابطه (۲) بدست آورد که از روی رابطه (۱) استخراج شده است:

$$x_k = x_k - y = \text{EXP} \left[\frac{1}{n} \left(\ln \left(\frac{1}{1-(k/100)} \right) \right) + \ln x_C \right] \quad (2)$$

برای شش صدک مذکور دهانه های مربوط برای هر دو



شاخص پکترومغناطیس (سرنده کردن)

شکل (۸) شاخص یکنواختی سنجک های سرنده شده بر حسب شاخص یکنواختی تعیین شده توسط روش عکسبرداری.

برای پیدا کردن روشی جهت ارتباط دادن منحنی های

جدول (۵) اطلاعات صدک ها برای دو روش عکسبرداری و سرنده کردن بر حسب سانیتمتر.

شماره نمونه									روش نمونه گیری	صدکها (%)
۸	۷	۶	۵	۴	۳	۲	۱			
۳/۶۶	۳/۱۷	۱/۶۴	۱/۲۱	۲/۰۶	۲/۲۰	۱/۸۴	۱/۳۱	سرنده کردن	۰	
۳/۸۶	۴/۲۳	۲/۲۴	۲/۰۰	۱/۸۴	۱/۹۰	۱/۹۳	۲/۲۳	عکسبرداری	۰	
۷/۳۰	۶/۶۲	۴/۲۷	۳/۴۷	۴/۹۱	۴/۴۷	۳/۹۳	۳/۱۲	سرنده کردن	۲۰	
۷/۸۳	۸/۷۴	۵/۷۹	۴/۹۳	۴/۷۲	۴/۰۷	۴/۰۱	۴/۹۷	عکسبرداری	۲۰	
۱۰/۸۸	۱۰/۰۱	۷/۳۱	۶/۲۹	۷/۰۹	۶/۰۸	۶/۰۴	۵/۰۷	سرنده کردن	۴۰	
۱۱/۶۶	۱۳/۱۶	۹/۹۰	۸/۱۹	۸/۰۲	۷/۳۷	۷/۲۰	۷/۶۳	عکسبرداری	۴۰	
۱۴/۹۷	۱۴/۰۱	۱۱/۳۰	۱۰/۱۹	۹/۰۰	۹/۰۱	۸/۰۰	۷/۰۱	سرنده کردن	۶۳/۲۱	
۱۶/۱۱	۱۸/۳۲	۱۰/۲۹	۱۲/۳۷	۱۲/۳۲	۱۰/۸۷	۱۰/۶۶	۱۰/۷۹	عکسبرداری	۶۳/۲۱	
۱۷/۴۷	۱۶/۰۰	۱۳/۹۷	۱۲/۸۸	۱۱/۰۴	۱۰/۰۰	۱۰/۱۳	۹/۱۰	سرنده کردن	۷۵	
۱۸/۸۶	۲۱/۰۳	۱۸/۸۹	۱۰/۱۲	۱۰/۱۸	۱۳/۱۴	۱۲/۸۷	۱۲/۷۷	عکسبرداری	۷۵	
۲۲/۲۳	۲۱/۲۷	۱۹/۴۲	۱۸/۰۳	۱۳/۸۲	۱۳/۳۱	۱۳/۱۸	۱۲/۲۶	سرنده کردن	۹۰	
۲۴/۰۷	۲۷/۶۰	۲۶/۲۳	۲۰/۶۰	۲۰/۹۹	۱۷/۶۲	۱۷/۲۳	۱۶/۶۰	عکسبرداری	۹۰	

جدول (۶) روابط بدست آمده از برازش منحنی بر اطلاعات جدول (۵).

ضریب همبستگی	رابطه	صدک
.۷۵۸	$X_{\text{سرنده}} = .۷ \times X_{\text{عکسبرداری}} + .۴۰۶$	۰
.۸۰۲	$X_{\text{سرنده}} = .۷۷ \times X_{\text{عکسبرداری}} + .۲۸۳$	۲۰
.۹۰۶	$X_{\text{سرنده}} = .۸۲ \times X_{\text{عکسبرداری}} - .۱۱۷$	۴۰
.۹۲۶	$X_{\text{سرنده}} = .۸۴ \times X_{\text{عکسبرداری}} - .۶۷۳$	۶۳/۲۱
.۹۱۹	$X_{\text{سرنده}} = .۸۵ \times X_{\text{عکسبرداری}} - .۹۰۶$	۷۵
.۸۳۶	$X_{\text{سرنده}} = .۸۲ \times X_{\text{عکسبرداری}} - .۱۲۱$	۹۰

$$X_{63/21} = \frac{0/84 \times X_{63/21}}{\text{سربند} - \text{عکسبرداری}} - 0/673 \quad (3.a)$$

$$X_{75} = \frac{0/85 \times X_{75}}{\text{سربند} - \text{عکسبرداری}} - 0/956 \quad (3.b)$$

اگر $K=62/21$ باشد، در اینصورت برای حالت سربند کردن با توجه به رابطه (۲) می‌توان نشان داد که:

$$X_{63/21} = X_C \quad (4)$$

که در آن بعد $X_{63/21}$ دهانه سربند مربوط به ۶۳/۲۱ امین صدک می‌باشد. با داشتن X_C و بعد سربند مربوط به ۷۵ شکل (۹)- منحنی های رگرسیون خطی برای صدک های در روش عکسبرداری سربند کردن. امین صدک، می‌توان مقدار n را نیز از رابطه (۲) تعیین نمود.

$$x_{75} = \text{EXP} \left[\frac{1}{n} \left(\ln \left(\ln \left(\frac{1}{1-(/100)} \right) \right) + \ln x_C \right) \right]$$

$$x_{75} = \text{EXP} \left[\frac{0.327}{n} + \ln x_C \right]$$

$$\ln x_{75} = \frac{0.327}{n} + \ln x_C$$

$$n = \frac{0.327}{\ln(x_{75}/x_C)}$$

تشکر و قدردانی

لازم می‌داند از مسئولین و پرسنل محترم معدن باما که امکان انجام این تحقیق را فراهم آورند صمیمانه تشکر نمایند.

روش عکسبرداری و سربند کردن در جدول (۵) آمده است. این دهانه ها از روی توزیع های خردشگی حاصل از روش سربند کردن و رابطه (۲) بدست آمده اند.

برای ارتباط دادن اطلاعات بدست آمده از هر یک از صدک های رگرسیون خطی ساده استفاده شده است که نتایج آن در جدول (۶) آمده است. در شکل (۹) صدک های حالت سربند کردن بر حسب صدک های حالت سربند کردن و برای تمام نمونه ها رسم شده است. فواصل اطمینان ۹۰ درصد نیز به صورت یک جفت نوار ناپیوسته در شکل رسم شده اند.

نتیجه گیری

با توجه به مطالب فوق می‌توان نتیجه گرفت که:

الف - ضریب همبستگی پردازش های خطی بین صدک های سربند کردن و عکسبرداری با حرکت از صدک پنجم با صدک ۶۳/۲۱ که همان بعد ویژه است،

افزایش یافته و پس از آن کاهش می‌یابد. مطابق جدول (۶) ضریب همبستگی ۷۵ امین صدک نیز از مقدار مناسبی برخوردار است. بدین ترتیب ملاحظه می‌شود که روش عکسبرداری تنها تخمین نسبیًّا مناسبی را برای ابعاد حول و حوش بعد ویژه و کمی بالاتر از آن بدست می‌دهد که این امر ناشی از عدم تفکیک نمایی مناسب برای ذرات ریز و همپوشانی قطعات درشت می‌باشد.

ب - برای تبدیل هر یک از صدک های روش عکسبرداری به صدک متناظر آن در روش سربند کردن نمی‌توان تنها از یک رابطه استفاده نمود، چرا که شبی و عرض از مبدأ معادلات مرتبط کننده صدک های به مقدار صدک پستگی دارد.

حال با توجه به ضریب همبستگی زیاد در صدک های ۶۳/۲۱ و ۷۵ می‌توان از روابط مربوط به آنها برای تبدیل اطلاعات بدست آمده از عکسبرداری به توزیع واقعی قطعات در توده حاصل از انفجار استفاده نمود. با توجه به جدول (۶) برای صدک های مذکور داریم:

مراجع

- [1] Kuznetsov V.M., 1973, The Mean Diameters of the Fragments Formed by Blasting Rock. Soviet Mining Science, 2: 39-43.
- [2] Cunningham C.V.B., 1983, The Kuz-Rum Model for Prediction of Fragmentation from Blasting. First Int. Sym. Rock Fragmentation by Blasting, pp. 438-453, Lulea, Sweden.
- [3] Otterness R.E., Stagg M.S., Rholl S.A. and Smith N.S., 1990, Correlation of Shot Design Parameters to Fragmentation. Third Int. Sym. Rock Fragmentation by Blasting, pp. 311-318, Brisbane, Australia.
- [4] Aimone C.T. and Dawding C.H., 1983, Fragmentation Measurement Results for Fourteen Full Scale Blasts: a Comparision with a Three Dimensional Wave Code. Proceeding of the Ninth Conference on Explosives and Blasting Technique, pp. 310-333.
- [5] Mutmansky J. M., 1971, A Distribution Fitting Method for General Use. In Decision Making in the Mineral Industry, C.I.M. Special Volum No.12.